

Sesión 3. Esquemas numéricos en OpenFOAM

E. Martín¹, M. Meis^{1,2} y F. Varas¹

¹Univ. de Vigo y ²Vicus Desarrollos Tecnológicos

Dinámica de fluidos computacional con OpenFOAM
18–20 de Junio de 2014



Unión Europea
FEDER



Invertimos en su futuro

Proyecto CloudPYME

El proyecto CloudPYME (ID 0682_CLOUDPYME2_1_E) está cofinanciado por la Comisión Europea a través del Fondo Europeo de Desarrollo Regional (FEDER), dentro de la tercera convocatoria de proyectos del Programa Operativo de Cooperación Transfronteriza España–Portugal 2007–2013 (POCTEP).



Unión Europea
FEDER



Invertimos en su futuro

Esquemas numéricos en OpenFOAM

Discretización numérica

- discretización espacial y temporal
 - discretización espacial
 - tratamiento de términos convectivos
 - discretización temporal
- algoritmos globales de resolución
 - SIMPLE
 - PISO
- resolución de sistemas lineales

Outline

- 1 Discretización espacial y temporal
- 2 Algoritmos numéricos de resolución
- 3 Resolución de sistemas lineales

Plan

- 1 Discretización espacial y temporal
- 2 Algoritmos numéricos de resolución
- 3 Resolución de sistemas lineales

Formulación de modelos

Ecuación de conservación genérica (forma diferencial)

$$\underbrace{\frac{\partial}{\partial t}(\rho\Phi)}_{\text{acumulación}} + \underbrace{\text{div}(\rho\vec{U}\Phi)}_{\text{convección}} - \underbrace{\text{div}(\rho\Gamma_{\Phi}\vec{\nabla}\Phi)}_{\text{difusión}} = \underbrace{S(\Phi)}_{\text{fuente}}$$

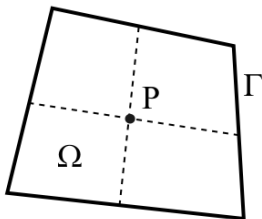
Formulación integral: balance sobre volumen de control V

$$\frac{d}{dt} \int_V \rho\Phi dV + \int_{\partial V} \rho\vec{U}\Phi \cdot d\vec{S} - \int_{\partial V} \rho\Gamma_{\Phi}\vec{\nabla}\Phi \cdot d\vec{S} = \int_V S(\Phi) dV$$

Discretización mediante volúmenes finitos

Formulación de balance sobre celda Ω

$$\frac{d}{dt} \int_{\Omega} \rho \Phi dV + \int_{\Gamma} \rho \vec{U} \Phi \cdot d\vec{S} - \int_{\Gamma} \rho \Gamma_{\Phi} \vec{\nabla} \Phi \cdot d\vec{S} = \int_{\Omega} S(\Phi) dV$$

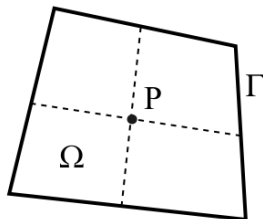


Discretización mediante volúmenes finitos

Aproximación mediante volúmenes finitos

A partir de aproximaciones de Φ en P se debe obtener:

- aproximación de $\int_{\Omega} F(\Phi) dV$
- aproximación de $\int_{\Gamma} \vec{G}(\Phi) \cdot d\vec{S}$

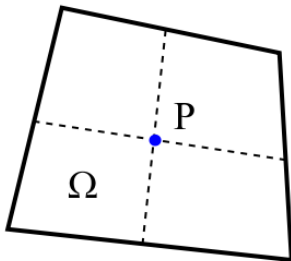


Integración sobre celdas

Aproximación de integral sobre celda Ω

$$F(\vec{x}) = F_P + (\vec{\nabla} F)_P \cdot (\vec{x} - \vec{x}_P) + O(\|\vec{x} - \vec{x}_P\|^2)$$

$$\int_{\Omega} F d\Omega \simeq \int_{\Omega} (F_P + (\vec{\nabla} F)_P \cdot (\vec{x} - \vec{x}_P)) d\Omega = F_P V_P$$

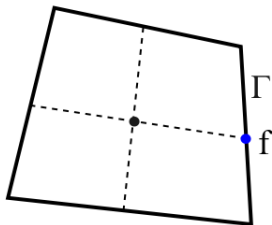


Integración sobre caras

Aproximación de integral sobre cara Γ

$$\vec{G}(\vec{x}) = \vec{G}_f + (\vec{\nabla} \vec{G})_f (\vec{x} - \vec{x}_f) + O(\|\vec{x} - \vec{x}_f\|^2)$$

$$\int_{\Gamma} \vec{G} \cdot d\vec{S} \simeq \int_{\Gamma} (\vec{G}_f + (\vec{\nabla} \vec{G})_f (\vec{x} - \vec{x}_f)) \cdot d\vec{S} = \vec{G}_f \cdot \vec{S}_f$$

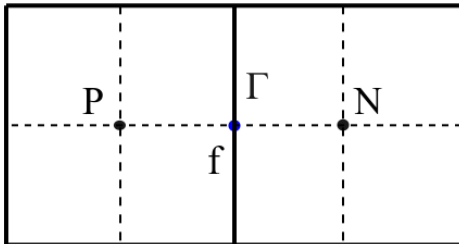


Aproximación de términos difusivos

Cálculo de flujo difusivo

$$\int_{\Gamma} \rho \Gamma_{\Phi} \vec{\nabla} \Phi \cdot d\vec{S} \simeq (\rho \Gamma_{\Phi})_f (\vec{\nabla} \Phi)_f \cdot \vec{S}_f$$

$$(\vec{\nabla} \Phi)_f \cdot \vec{S}_f \simeq |\vec{S}_f| \frac{\Phi_N - \Phi_P}{|\vec{d}|}$$

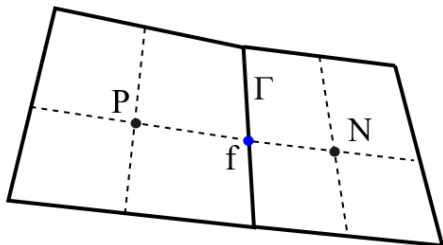


Aproximación de términos difusivos

Cálculo de flujo difusivo (malla general)

$$\int_{\Gamma} \rho \Gamma_{\Phi} \vec{\nabla} \Phi \cdot d\vec{S} \simeq (\rho \Gamma_{\Phi})_f (\vec{\nabla} \Phi)_f \cdot \vec{S}_f$$

$$(\vec{\nabla} \Phi)_f = f_x (\vec{\nabla} \Phi)_P + (1 - f_x) (\vec{\nabla} \Phi)_N \quad \text{con} \quad (\vec{\nabla} \Phi)_P \simeq \frac{1}{V_P} \sum_f \Phi_f \vec{S}_f$$

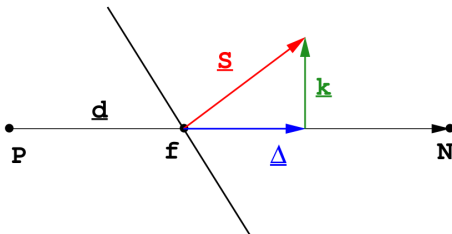


Aproximación de términos difusivos

Implementación práctica

- Esquema anterior produce *stencil* grande
(matrices menos huecas y mayor consumo de memoria)
- En práctica se introducen correcciones

$$(\vec{\nabla}\Phi)_f \cdot \vec{S}_f = \underbrace{\vec{\Delta} \cdot (\vec{\nabla}\Phi)_f}_{\text{correción}} + \underbrace{\vec{k} \cdot (\vec{\nabla}\Phi)_f}_{\text{término difusivo}}$$



Aproximación de términos fuente

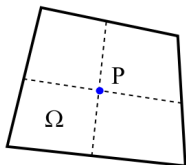
Cálculo de términos fuente

- términos lineales:

$$\int_{\Omega} S(\Phi) dV \simeq (S(\Phi))_P V_P = S_P \Phi_P V_P$$

- términos no lineales (linealización):

$$\int_{\Omega} S(\Phi) dV \simeq (S(\Phi))_P V_P \simeq S_{0P} V_P + S_{1P} \Phi_P V_P$$



Aproximación de términos convectivos

Un ejemplo elemental

Problema estacionario unidimensional sin fuentes

$$\frac{d}{dx}(\rho U \Phi) - \frac{d}{dx}(\rho \Gamma_{\Phi} \frac{d\Phi}{dx}) = 0$$

$$\Phi(0) = \Phi_0 \quad \Phi(L) = 0$$

Forma adimensional (ρ , U y Γ_{Φ} constantes)

$$\frac{d\hat{\Phi}}{d\hat{x}} - \frac{1}{Pe} \frac{d^2\hat{\Phi}}{d\hat{x}^2} = 0$$

$$\hat{\Phi}(0) = 1 \quad \hat{\Phi}(1) = 0$$

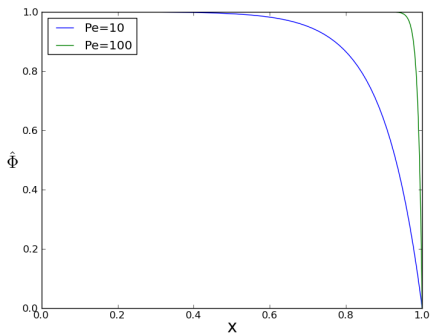
donde $Pe = \frac{LU}{\Gamma_{\Phi}}$

Aproximación de términos convectivos

Un ejemplo elemental

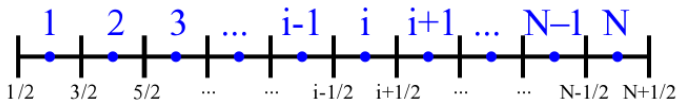
Solución analítica de problema modelo

$$\hat{\Phi}(x) = \frac{\exp(Pe x) - \exp(Pe)}{1 - \exp(Pe)}$$



Aproximación de términos convectivos

Un ejemplo elemental

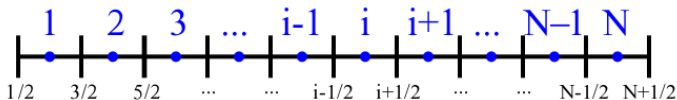


Formulación de balances sobre celda i -ésima

$$\int_{x_{i-1/2}}^{x_{i+1/2}} \frac{d\hat{\phi}}{d\hat{x}} d\hat{x} - \int_{x_{i-1/2}}^{x_{i+1/2}} \frac{1}{Pe} \frac{d}{d\hat{x}} \left(\frac{d\hat{\phi}}{d\hat{x}} \right) d\hat{x} = 0$$

Aproximación de términos convectivos

Un ejemplo elemental

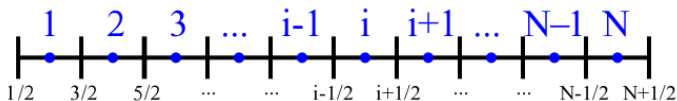


Tratamiento de términos difusivos

$$\begin{aligned}
 - \int_{x_{i-1/2}}^{x_{i+1/2}} \frac{1}{Pe} \frac{d}{d\hat{x}} \left(\frac{d\hat{\phi}}{d\hat{x}} \right) d\hat{x} &= \frac{1}{Pe} \left(\frac{d\hat{\phi}}{d\hat{x}} \Big|_{x_{i+1/2}} - \frac{d\hat{\phi}}{d\hat{x}} \Big|_{x_{i-1/2}} \right) \\
 &\approx \frac{1}{Pe} \left(\frac{\hat{\phi}_{i+1} - \hat{\phi}_i}{\Delta\hat{x}} - \frac{\hat{\phi}_i - \hat{\phi}_{i-1}}{\Delta\hat{x}} \right) = \frac{1}{Pe} \frac{\hat{\phi}_{i+1} - 2\hat{\phi}_i + \hat{\phi}_{i-1}}{\Delta\hat{x}}
 \end{aligned}$$

Aproximación de términos convectivos

Un ejemplo elemental

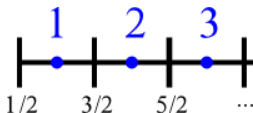


Aproximación de términos convectivos

$$\int_{x_{i-1/2}}^{x_{i+1/2}} \frac{d\hat{\phi}}{d\hat{x}} d\hat{x} = \hat{\phi}|_{x_{i+1/2}} - \hat{\phi}|_{x_{i-1/2}}$$
$$\approx \frac{\hat{\phi}_{i+1} + \hat{\phi}_i}{2} - \frac{\hat{\phi}_i + \hat{\phi}_{i-1}}{2} = \frac{\hat{\phi}_{i+1} - \hat{\phi}_{i-1}}{2}$$

Aproximación de términos convectivos

Un ejemplo elemental



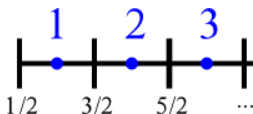
Balance en primera celda (condición de contorno en $x_{1/2}$)

- Contribución de término difusivo

$$\begin{aligned} - \int_{x_{1/2}}^{x_{3/2}} \frac{1}{Pe} \frac{d}{d\hat{x}} \left(\frac{d\hat{\Phi}}{d\hat{x}} \right) d\hat{x} &= \frac{1}{Pe} \left(\frac{d\hat{\Phi}}{d\hat{x}} \Big|_{x_{3/2}} - \frac{d\hat{\Phi}}{d\hat{x}} \Big|_{x_{1/2}} \right) \\ &\simeq \frac{1}{Pe} \left(\frac{\hat{\Phi}_2 - \hat{\Phi}_1}{\Delta\hat{x}} - \frac{\hat{\Phi}_1 - \hat{\Phi}_{cc}}{\frac{1}{2}\Delta\hat{x}} \right) \end{aligned}$$

Aproximación de términos convectivos

Un ejemplo elemental



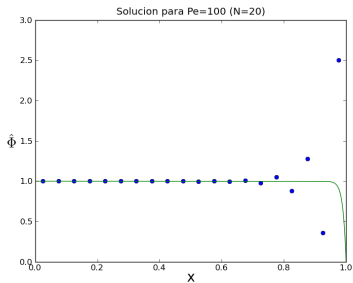
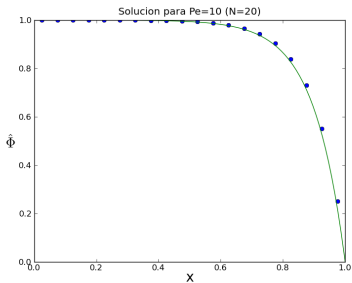
Balance en primera celda (condición de contorno en $x_{1/2}$)

- Contribución de término convectivo

$$\int_{x_{1/2}}^{x_{3/2}} \frac{d\hat{\phi}}{d\hat{x}} d\hat{x} = \hat{\phi}|_{x_{3/2}} - \hat{\phi}|_{x_{1/2}} \simeq \frac{\hat{\phi}_1 + \hat{\phi}_2}{2} - \hat{\phi}_{cc}$$

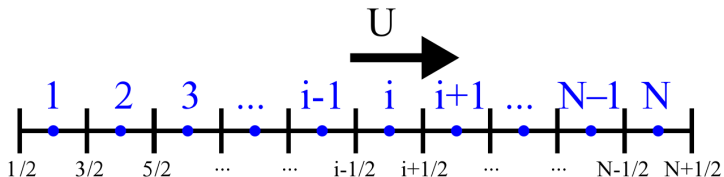
Aproximación de términos convectivos

Un ejemplo elemental



Aproximación de términos convectivos

Un ejemplo elemental

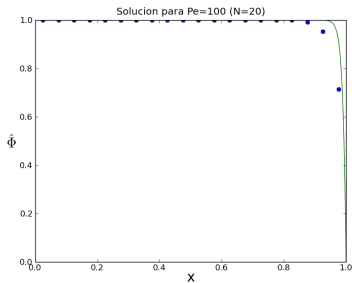
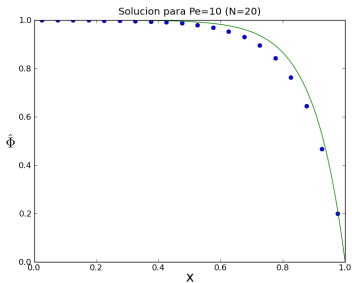


Una aproximación estable de términos convectivos

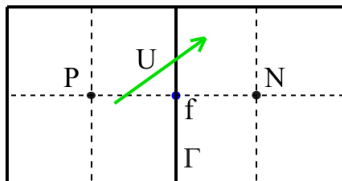
$$\int_{x_{i-1/2}}^{x_{i+1/2}} \frac{d\hat{\phi}}{d\hat{x}} d\hat{x} = \hat{\phi}|_{x_{i+1/2}} - \hat{\phi}|_{x_{i-1/2}} \simeq \hat{\phi}_i - \hat{\phi}_{i-1}$$

Aproximación de términos convectivos

Un ejemplo elemental



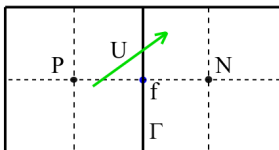
Aproximación de flujos convectivos



Contribución de flujos convectivos

$$\frac{d}{dt} \int_{\Omega} \rho \Phi dV + \underbrace{\int_{\Gamma} \rho \vec{U} \Phi \cdot d\vec{S}} - \int_{\Gamma} \rho \Gamma_{\Phi} \vec{\nabla} \Phi \cdot d\vec{S} = \int_{\Omega} S(\Phi) dV$$
$$\int_{\Gamma} \rho \vec{U} \Phi \cdot d\vec{S} \simeq (\rho \vec{U})_f \Phi_f \cdot \vec{S}_f$$

Aproximación de flujos convectivos



Esquemas básicos

- aproximación centrada (*central differencing*)

$$\Phi_f = (\Phi_f)_{CD} = f_x \Phi_P + (1 - f_x) \Phi_N$$

- aproximación descentrada (*upwind differencing*)

$$\Phi_f = (\Phi_f)_{UD} = \Phi_P$$

- aproximación mixta (*blended differencing*)

$$\Phi_f = (1 - \gamma)(\Phi)_{UD} + \gamma(\Phi)_{CD}$$

Aproximación de flujos convectivos

Otras aproximaciones de flujos convectivos

- descentrado de orden superior:
 - *linear upwinding*
 - QUICK
- esquemas TVD y limitadores de flujo:
 - van Leer
 - SUPERBEE
 - MINMOD
 - MUSCL

Control de discretización espacial en OpenFOAM

Tipos de esquemas de discretización espacial

- Interpolación general (obtiene valores sobre aristas/caras)
`interpolationSchemes`
- Discretización de términos convectivos:
`divSchemes`
- Discretización de términos difusivos:
`laplacianSchemes`
- Discretización de términos en gradiente:
`gradSchemes`

Control de discretización espacial

Esquemas de interpolación sobre aristas/cara

Centred schemes

linear	Linear interpolation (central differencing)
cubicCorrection	Cubic scheme
midPoint	Linear interpolation with symmetric weighting

Upwinded convection schemes

upwind	Upwind differencing
linearUpwind	Linear upwind differencing
skewLinear	Linear with skewness correction
filteredLinear2	Linear with filtering for high-frequency ringing

TVD schemes

limitedLinear	limited linear differencing
vanLeer	van Leer limiter
MUSCL	MUSCL limiter
limitedCubic	Cubic limiter

NVD schemes

SFCD	Self-filtered central differencing
Gamma ψ	Gamma differencing

Control de discretización espacial

Términos convectivos: `divSchemes`

- Discretización de términos de forma $\text{div}(\rho \vec{U} \vec{U})$ mediante:
`div(phi,U) Gauss InterpScheme`
donde `phi` corresponde a $\vec{\phi} = \rho \vec{U}$
- Esquemas (usuales) de interpolación:

Scheme	Numerical behaviour
<code>linear</code>	Second order, unbounded
<code>skewLinear</code>	Second order, (more) unbounded, skewness correction
<code>cubicCorrected</code>	Fourth order, unbounded
<code>upwind</code>	First order, bounded
<code>linearUpwind</code>	First/second order, bounded
<code>QUICK</code>	First/second order, bounded
<code>TVD schemes</code>	First/second order, bounded
<code>SFCD</code>	Second order, bounded
<code>NVD schemes</code>	First/second order, bounded

Control de discretización espacial

Términos difusivos: `laplacianSchemes`

- Discretización de términos de forma $\text{div}(\nu \vec{\nabla} U)$ mediante:
`laplacian(nu,U) Gauss InterpScheme SnScheme`
 - Esquema de interpolación según lista general
 - Esquemas de aproximación de normales:

Scheme	Numerical behaviour
<code>corrected</code>	Unbounded, second order, conservative
<code>uncorrected</code>	Bounded, first order, non-conservative
<code>limited ψ</code>	Blend of <code>corrected</code> and <code>uncorrected</code>
<code>bounded</code>	First order for bounded scalars
<code>fourth</code>	Unbounded, fourth order, conservative

- Ejemplo:
`laplacian(nu,U) Gauss linear corrected`

Control de discretización espacial

Términos en gradiente: `gradSchemes`

Discretisation scheme	Description
<code>Gauss <interpolationScheme></code>	Second order, Gaussian integration
<code>leastSquares</code>	Second order, least squares
<code>fourth</code>	Fourth order, least squares
<code>cellLimited <gradScheme></code>	Cell limited version of one of the above schemes
<code>faceLimited <gradScheme></code>	Face limited version of one of the above schemes

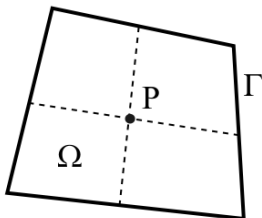
Más información

- *OpenFOAM User's Guide*
- *OpenFOAM Programmer's Guide*
- OpenFOAM wiki en: <http://openfoamwiki.net>
- H. Jasak; *Error Analysis and Estimation for the Finite Volume Method with Applications to Fluid Flows*, PhD Dissertation, 1996.

Integración temporal

Formulación de balance sobre celda Ω

$$\frac{d}{dt} \int_{\Omega} \rho \Phi dV + \int_{\Gamma} \rho \vec{U} \Phi \cdot d\vec{S} - \int_{\Gamma} \rho \Gamma_{\Phi} \vec{\nabla} \Phi \cdot d\vec{S} = \int_{\Omega} S(\Phi) dV$$



Integración temporal

Formulación semidiscretizada en espacio

$$\rho_P V_P \frac{d\Phi_P}{dt} + \sum_f F\Phi_f - \sum_f (\rho\Gamma)_f \vec{S} \cdot (\vec{\nabla}\Phi)_f = S_0 V_P + S_1 V_P \Phi_P$$

Esquemas de discretización temporal

- Euler implícito
- Esquema BDF de orden 2
- Crank-Nicolson
- esquemas de Runge-Kutta

Integración temporal

Método de Euler implícito

$$\rho_P V_P \frac{\Phi_P^n - \Phi_P^0}{\Delta t} + \sum_f F \Phi_f^n - \sum_f (\rho \Gamma)_f \vec{S} \cdot (\vec{\nabla} \Phi)_f^n = S_0 V_P + S_1 V_P \Phi_P^n$$

Estabilidad del esquema

- incondicionalmente estable
- sobreamortiguamiento si CFL mucho mayor que 1

Integración temporal

Método BDF de orden 2

$$\rho_P V_P \frac{3/2\Phi_P^n - 2\Phi_P^0 + 1/2\Phi_P^{00}}{\Delta t} + \sum_f F\Phi_f^n - \sum_f (\rho\Gamma)_f \vec{S} \cdot (\vec{\nabla}\Phi)_f^n = S_0 V_P + S_1 V_P \Phi_P^n$$

Método de Crank–Nicolson

$$\rho_P V_P \frac{\Phi_P^n - \Phi_P^0}{\Delta t} + \frac{1}{2} \sum_f F\Phi_f^n - \frac{1}{2} \sum_f (\rho\Gamma)_f \vec{S} \cdot (\vec{\nabla}\Phi)_f^n + \frac{1}{2} \sum_f F\Phi_f^0 - \frac{1}{2} \sum_f (\rho\Gamma)_f \vec{S} \cdot (\vec{\nabla}\Phi)_f^0 = S_0 V_P + \frac{1}{2} S_1 V_P \Phi_P^n + \frac{1}{2} S_1 V_P \Phi_P^0$$

Integración temporal

Implementación en OpenFOAM

- términos implícitos (ensamblado de matriz):
fvm: finiteVolumeMethod
- términos explícitos (ensamblado de vector):
fvc: finiteVolumeCalculus

Ecuación del calor en `laplacianFoam`

Integración con esquema implícito de

$$\frac{\partial T}{\partial t} - \text{div}(D_T \vec{\nabla} T) = 0$$

```
solve ( fvm::ddt(T) - fvm::laplacian(DT, T) );
```

Plan

- 1 Discretización espacial y temporal
- 2 Algoritmos numéricos de resolución
- 3 Resolución de sistemas lineales

Dificultades en tratamiento de presión

Ecuaciones de Stokes

$$-\mu\Delta\vec{v} + \vec{\nabla}p = 0$$
$$\operatorname{div}\vec{v} = 0$$

Formulación sobre celda (2D)

$$-\sum_f \int_{\Gamma} \mu \frac{\partial u}{\partial n} dS + \sum_f \int_{\Gamma} p n_x dS = 0$$

$$-\sum_f \int_{\Gamma} \mu \frac{\partial v}{\partial n} dS + \sum_f \int_{\Gamma} p n_y dS = 0$$

$$\sum_f \int_{\Gamma} \vec{v} \cdot \vec{n} dS = 0$$

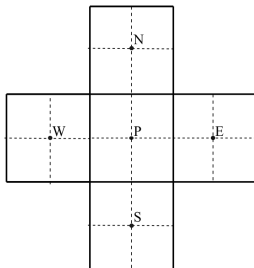
Dificultades en tratamiento de presión

Discretización de ecuación de Stokes

$$-\mu(u_E + u_W + u_N + u_S - 4u_P) + h(p_E - p_W) = 0$$

$$-\mu(v_E + v_W + v_N + v_S - 4v_P) + h(p_N - p_S) = 0$$

$$v_N - v_S + u_E - u_W = 0$$



Dificultades en tratamiento de presión

Ecuaciones de Stokes

$$-\mu\Delta\vec{v} + \vec{\nabla}p = 0$$

$$\operatorname{div}\vec{v} = 0$$

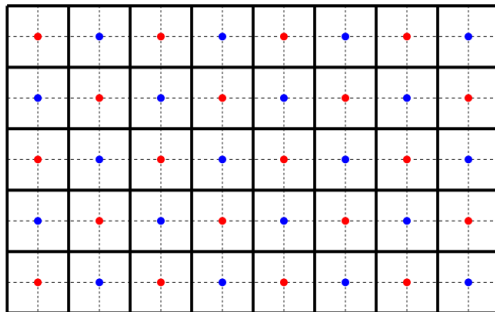
Observación

Con balance nulo de fuerzas de viscosidad ($\mu\Delta\vec{v} = 0$):
 p debe ser constante

Dificultades en tratamiento de presión

$$-\mu(u_E + u_W + u_N + u_S - 4u_P) + h(p_E - p_W) = 0$$

$$-\mu(v_E + v_W + v_N + v_S - 4v_P) + h(p_N - p_S) = 0$$



Dificultades en tratamiento de presión

Alternativas de esquemas numéricos estables

- uso de mallas decaladas (*staggered grids*):
 - presión y velocidad **no** se aproximan en los mismos puntos
 - ejemplo: MAC (Marker-and-Cell)
- métodos de proyección (o segregados):
 - las ecuaciones se resuelven en varios pasos
 - se separa conservación de momentos e incompresibilidad
 - ejemplo: PISO y SIMPLE

Algoritmo SIMPLE

Semi-Implicit Method for Pressure-Linked Equations

Ecuaciones de Navier-Stokes incompresibles

$$\frac{\partial \vec{u}}{\partial t} + \operatorname{div}(\vec{u} \otimes \vec{u}) - \operatorname{div}(\nu \vec{\nabla} \vec{u}) + \vec{\nabla} p = \vec{0}$$

$$\operatorname{div} \vec{u} = 0$$

Idea del algoritmo SIMPLE (para problema estacionario)

- se itera en tiempo (linealizando en tiempo anterior)
- en cada paso de tiempo:
 - se descomponen los campos en predicción y corrección
 - se calcula una predicción de la velocidad (ec. de conservación de momentos con presión dada)
 - se calculan las correcciones en presión y velocidad (ec. de conservación de momentos e incompresibilidad)

Algoritmo SIMPLE

Descomposición de campos (predicción + corrección)

$$\vec{u}^{n+1} = \vec{u}^* + \vec{u}' \quad p^{n+1} = p^n + p'$$

Ecuación de conservación de momentos

Despreciando términos cuadráticos y viscosos en \vec{u}' :

$$\frac{\partial \vec{u}^*}{\partial t} + \frac{\partial \vec{u}'}{\partial t} + \text{div}(\vec{u}^n \otimes \vec{u}^*) - \text{div}(\nu \vec{\nabla} \vec{u}^*) + \vec{\nabla} p^n + \vec{\nabla} p' = \vec{0}$$

Segregación de cálculos

$$\begin{aligned} \frac{\partial \vec{u}^*}{\partial t} + \text{div}(\vec{u}^n \otimes \vec{u}^*) - \text{div}(\nu \vec{\nabla} \vec{u}^*) + \vec{\nabla} p^n &= \vec{0} \\ \frac{\partial \vec{u}'}{\partial t} + \vec{\nabla} p' &= \vec{0} \end{aligned}$$

Algoritmo SIMPLE

Etapa de predicción

- Se calcula \vec{u}^* solución de

$$\operatorname{div}(\vec{u}^n \otimes \vec{u}^*) - \operatorname{div}(\nu \vec{\nabla} \vec{u}^*) + \vec{\nabla} p^n = \vec{0}$$

Etapa de corrección

- Se calculan \vec{u}' y p' solución de

$$\frac{\partial \vec{u}'}{\partial t} + \vec{\nabla} p' = \vec{0}$$

$$\operatorname{div}(\vec{u}^* + \vec{u}') = 0$$

Algoritmo SIMPLE

Resolución de etapa de corrección

- Se deduce un problema de Poisson para la presión.
Eliminando \vec{u}' del sistema en (\vec{u}', p') :

$$-\Delta p' = -\frac{\partial}{\partial t}(\text{div}\vec{u}^*)$$

con condiciones de contorno *artificiales* sobre p'

- Calculada presión p' se calcula corrección de velocidad \vec{u}' :

$$\frac{\partial \vec{u}'}{\partial t} + \vec{\nabla} p' = \vec{0}$$

Algoritmo SIMPLE

Implementación del algoritmo SIMPLE

- La etapa de predicción puede simplificarse
p.e. convertirse en explícita (se retiene sólo diagonal del operador de discretización)
- El algoritmo itera en (pseudo-)tiempo hasta convergencia
justifica no considerar términos despreciados
- En cálculo de presión se itera para retener correcciones no-ortogonales
evita aumento de banda de matriz (reduce coste total)
- Se emplea relajación para mejorar la convergencia

Algoritmo SIMPLE

Implementación de SIMPLE en OpenFOAM

Archivo `simpleFoam.C` en directorio
`applications/solvers/incompressible`

```
while (simple.loop())
{
    Info<< "Time = " << runTime.timeName() << nl << endl;

    // --- Pressure-velocity SIMPLE corrector
    {
        #include "UEqn.H"
        #include "pEqn.H"
    }

    turbulence->correct();

    runTime.write();

    Info<< "ExecutionTime = " << runTime.elapsedCpuTime() << " s"
        << " ClockTime = " << runTime.elapsedClockTime() << " s"
        << nl << endl;
}
```

Predicción de velocidades

Archivo UEqn.H

```
// Momentum predictor

tmp<fvVectorMatrix> UEqn
(
    fvm::div(phi, U)
    + turbulence->divDevReff(U)
    ==
    sources(U)
);

UEqn().relax();

sources.constrain(UEqn());

solve(UEqn() == -fvc::grad(p));
```

Etapa de corrección

Archivo pEqn.H

```
{
    p.boundaryField().updateCoeffs();

    volScalarField rAU(1.0/UEqn().A());
    U = rAU*UEqn().H();
    UEqn.clear();

    phi = fvc::interpolate(U, "interpolate(HbyA)") & mesh.Sf();
    adjustPhi(phi, U, p);

    // Non-orthogonal pressure corrector loop
    while (simple.correctNonOrthogonal())
    {
        fvScalarMatrix pEqn
        (
            fvm::laplacian(rAU, p) == fvc::div(phi)
        );

        pEqn.setReference(pRefCell, pRefValue);

        pEqn.solve();

        if (simple.finalNonOrthogonalIter())
        {
            phi -= pEqn.flux();
        }
    }

    #include "continuityErrs.H"

    // Explicitly relax pressure for momentum corrector
    p.relax();

    // Momentum corrector
    U -= rAU*fvc::grad(p);
    U.correctBoundaryConditions();
    sources.correct(U);
}
```

Algoritmo PISO

Pressure Implicit with Splitting of Operators

Adaptación de SIMPLE para problemas evolutivos

- términos despreciados (en cálculo de predicción \vec{u}^*) no se cancelan en transitorio
- términos truncados se incluyen en la corrección
- es preciso iterar en cálculo de correcciones

Esquema del algoritmo PISO

En cada paso de tiempo se resuelve:

- Cálculo de predicción \vec{u}^* en t_{n+1}
- Bucle de cálculo de corrección (\vec{u}', p') en t_{n+1} :
 - cálculo de p'_{k+1} a partir de \vec{u}^* y \vec{u}'_k
 - corrección de velocidad \vec{u}'_{k+1} a partir de p'_{k+1}

Implementación de PISO en OpenFOAM

Estructura de solver `icoFoam`

```
while (runTime.loop()) # bucle temporal
    fvVectorMatrix UEqn ( fvm::ddt(U)
        +fvm::div(phi,U)-fvm::laplacian(nu,U) );
    solve(UEqn == -fvc::grad(p)); # prediccion
    # inicio bucle PISO:
    for (int corr=0; corr<nCorr; corr++)
        adjustPhi(phi, U, p);
        # inicio bucle calculo presion:
        for (int nonOrth=0; nonOrth<=...
            fvScalarMatrix pEqn (
                fvm::laplacian(rAU, p)
                == fvc::div(phi) );
            pEqn.solve();
        U -= rAU*fvc::grad(p); # correccion
```

Plan

- 1 Discretización espacial y temporal
- 2 Algoritmos numéricos de resolución
- 3 Resolución de sistemas lineales**

Métodos (iterativos) de resolución

- métodos de Krylov:
 - método de gradiente conjugado
 - método de gradiente biconjugado
- métodos multimalla:
 - métodos multimalla geométricos
 - métodos multimalla algebraicos

Referencias

- <http://www.openfoam.com/features>
- OpenFOAM User Guide (sección 4.5)

Métodos de Krylov

Métodos disponibles

- para matrices simétricas y definidas positivas:
 - mét. de gradiente conjugado (precondicionado): PCG
- para matrices generales:
 - mét. de gradiente biconjugado (precondicionado): PBiCG

Precondicionadores

- factorizaciones incompletas: Cholesky (DIC) y LU (DILU)
- preconditionador diagonal (Jacobi): diagonal
- métodos multimalla (geométrico/algebraico): GAMG

Métodos multimalla

Métodos multimalla geométricos/algebraicos

- usuario no necesita proporcionar jerarquía de mallas
- malla grosera construida a partir de directrices en:
`nCoarsestCells`, `agglomerator`
- control de suavizadores mediante:
`smoother`
`nPreSwepng`, `nPostSwepng`, `nFinestSwepng`
- control de niveles de multimalla con:
`mergeLevels`

Un ejemplo: uso de `icoFoam`

Solver `icoFoam`

- *Transient solver for incompressible, laminar flow of Newtonian fluids*
- discretización basada en PISO
- usado en *Lid-driven cavity flow* (tutorial en *User's Guide*)

Código fuente de `icoFoam`

Archivo `icoFoam.C` en subdirectorio:
`applications/solvers/incompressible`

Un ejemplo: uso de `icoFoam`

Opciones en archivo `fvSolution`

```
solvers
{
  p
  {
    solver          PCG;
    preconditioner  DIC;
    tolerance       1e-06;
    relTol          0;
  }

  U
  {
    solver          PBiCG;
    preconditioner  DILU;
    tolerance       1e-05;
    relTol          0;
  }
}

PISO
{
  nCorrectors       2;
  nNonOrthogonalCorrectors 0;
  pRefCell          0;
  pRefValue         0;
}
```

Un ejemplo: uso de `icoFoam`

Opciones en archivo `fvSchemes`

```
ddtSchemes
{
    default          Euler;
}

gradSchemes
{
    default          Gauss linear;
    grad(p)          Gauss linear;
}

divSchemes
{
    default          none;
    div(phi,U)       Gauss linear;
}

laplacianSchemes
{
    default          none;
    laplacian(nu,U)  Gauss linear corrected;
    laplacian((1|A(U)),p) Gauss linear corrected;
}

interpolationSchemes
{
    default          linear;
    interpolate(HbyA) linear;
}
```